

Trodimenzijski računalni vid

geometrija jednog, dvaju i više pogleda

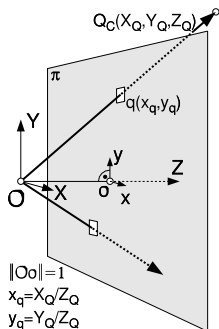
Siniša Šegvić
UniZg-FER D307

Uvod

Geometrijski aspekti računalnog vida: elementi za rekonstrukciju 3D modela iz 2D slika

Sadržaj:

- **Prerekviziti:** projekcijska geometrija, model stvaranja slike, umjeravanje kamere
- **Geometrija jednog pogleda:** homografije i nedogledi
- **Geometrija dvaju pogleda:** ravninske scene, epipolarna geometrija, 3D rekonstrukcija
- Primjene: autonomna navigacija, izrada 3D modela, proširena stvarnost



PROJEKCIJSKA GEOMETRIJA

- Omogućava **linearan** opis stvaranja slike i transformacija među koordinatnim sustavima!
- Elementi projekcijskog prostora imaju homogene koordinate:

$$\mathbf{x} = \left[x_1, x_2, \dots, x_{n+1} \right]^T \in \mathbb{P}^n$$
$$\mathbf{x} \sim \mathbf{y} \iff \mathbf{x} = \lambda \cdot \mathbf{y}$$

- **Projekcija**: transformacija $\mathbb{P}^m \rightarrow \mathbb{P}^n$ koja čuva kolinearnost
- Projekcije su **linearna preslikavanja**
(mogu se opisati homogenom matricom $\mathbf{P}_{m+1 \times n+1}$)
- Projekcijske invarijante: kolinearnost, križni omjer (udaljenosti, kutovi i paralelizam —**ne**)

PROJEKCIJSKA GEOMETRIJA

Odnos projekcijskog i Euklidskog prostora:

- Izomorfno preslikavanje $\mathbb{R}^n \rightarrow \mathbb{P}^n$:

$$\begin{bmatrix} x_1, x_2, \dots, x_n \end{bmatrix}^T \mapsto \begin{bmatrix} x_1, x_2, \dots, x_n, 1 \end{bmatrix}^T$$

- Za sve $\mathbf{y} \in \mathbb{P}^n : y_{n+1} \neq 0$ vrijedi obratno preslikavanje:

$$\begin{bmatrix} y_1, y_2, \dots, y_{n+1} \end{bmatrix}^T \mapsto \begin{bmatrix} \frac{y_1}{y_{n+1}}, \frac{y_2}{y_{n+1}}, \dots, \frac{y_n}{y_{n+1}} \end{bmatrix}^T$$

- točke $\mathbf{y} \in \mathbb{P}^n : y_{n+1} = 0$ se nazivaju točke u beskonačnosti
 - takve točke nemaju prikaz u \mathbb{R}^n ;
 - skup svih takvih točaka čini *ravninu (pravac)* u beskonačnosti

PROJEKCIJSKA GEOMETRIJA

Elementi projekcijske ravnine:

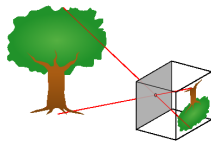
objekt	prikaz	jednadžba	transformacija
točka	$\mathbf{q} = \begin{bmatrix} x & y & t \end{bmatrix}^T$		$\mathbf{H}\mathbf{q}$
pravac	$\mathbf{l} = \begin{bmatrix} a & b & c \end{bmatrix}^T$	$\mathbf{l}^T \mathbf{q} = 0$	$\mathbf{H}^{-T} \mathbf{l}$
kr. 2. reda	$\mathbf{C}_{3 \times 3} = \mathbf{C}_{3 \times 3}^T$	$\mathbf{q}^T \mathbf{C} \mathbf{q} = 0$	$\mathbf{H}^{-T} \mathbf{C} \mathbf{H}^{-1}$

Homografija: Ravninska projekcija $\mathbb{P}^2 \rightarrow \mathbb{P}^2$; opisuje se matricom $\mathbf{H}_{3 \times 3}$.

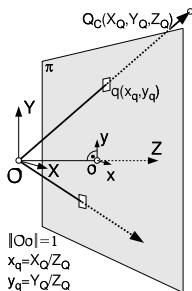
Lako se pokazuje da se presjecište dvaju pravaca da odrediti prema izrazu: $\mathbf{l}_1 \times \mathbf{l}_2 = \mathbf{q}$

MODEL STVARANJA SLIKE

- **Idealna kamera:** model temeljen na kameri s rupicom
 - kamera s rupicom (stenoskop) sastoji se od kutije koja na jednom kraju ima rupicu a na drugoj senzorski element
 - zrake svjetla prolaze kroz rupicu i na senzoru stvaraju sliku rotiranu za 180° .
 - koncept radi, ali zahtijeva dugačku ekspoziciju (sati)
- U modelu, rupica je infinitezimalna a njena projekcija pada u ishodište k.s. senzora.
- udaljenost senzora postavljamo na $\|Oo\|=1$, a slikovnu ravninu crtamo ispred rupice (sliku bismo prije gledanja zakrenuli)
- stvaranje slike sada možemo opisati perspektivnom projekcijom

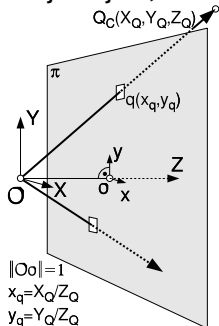


[Wikipedia]



MODEL STVARANJA SLIKE

- Projekcijski, stvaranje slike opisuju **linearni izrazi**:



$$\lambda \cdot \begin{bmatrix} x_{\hat{q}} \\ y_{\hat{q}} \\ 1 \end{bmatrix} = \begin{bmatrix} 1 & 0 & 0 & 0 \\ 0 & 1 & 0 & 0 \\ 0 & 0 & 1 & 0 \end{bmatrix} \cdot \begin{bmatrix} X_Q \\ Y_Q \\ Z_Q \\ 1 \end{bmatrix}$$

ili, kraće:

$$\lambda \cdot \hat{\mathbf{q}} = \mathbf{S} \cdot \mathbf{Q}_C$$

$\lambda \in \mathbb{R}$... nepoznati faktor (mnoge 3D točke se preslikavaju u istu točku slike)

$\hat{\mathbf{q}} \in \mathbb{P}^2$... **normalizirani k.s. slike** (o, \hat{x}, \hat{y}) ,

$\mathbf{Q}_C \in \mathbb{P}^3$... k.s. kamere (O, X, Y, Z)

$\|Oo\|$... udaljenost slikovne ravnine (senzora) od optičkog centra (rupice)

- Kamera s rupicom dobro modelira kamere koje daju **neizobličene** slike (bridovi scene \mapsto dužine u slici)

MODEL STVARANJA SLIKE

Perspektivni model stvaranja slike:

- Linearno proširenje minimalnog modela s pet parametara:

$$\begin{bmatrix} x_q \\ y_q \\ 1 \end{bmatrix} = \begin{bmatrix} s_x & s_\theta & t_x \\ 0 & s_y & t_y \\ 0 & 0 & 1 \end{bmatrix} \cdot \begin{bmatrix} x_{\hat{q}} \\ y_{\hat{q}} \\ 1 \end{bmatrix}$$

ili, kraće:

$$\mathbf{q} = \mathbf{K} \cdot \hat{\mathbf{q}}$$

- $s_x, s_y \dots \|Oo\|$ izražen u pikselima ($s_x \approx s_y$)
 $par = \frac{s_y}{s_x}; \phi_{hfov} = 2 \cdot \arctan\left(\frac{w}{2s_x}\right)$, za sliku $w \times h$
- $t_x, t_y \dots$ pomak k.s. slike
- $s_\theta = s_y \operatorname{ctg}(\theta) \dots$ kut među osima k.s. slike ($\theta \approx \pi/2, s_\theta \approx 0$)
- **Ostali intrinzični parametri** opisuju nelinearne korekcije!

MODEL STVARANJA SLIKE

Transformacija krutog tijela:

- homogene koordinate omogućuju linearan opis euklidskih transformacija (6 DOF):

$$\begin{bmatrix} X_Q \\ Y_Q \\ Z_Q \\ 1 \end{bmatrix} = \begin{bmatrix} \mathbf{R}_{3 \times 3} & \mathbf{t}_{3 \times 1} \\ 0_{1 \times 3} & 1 \end{bmatrix} \cdot \begin{bmatrix} L_Q \\ M_Q \\ N_Q \\ 1 \end{bmatrix}$$

ili, kraće:

$$\mathbf{Q}_C = \mathbf{M} \cdot \mathbf{Q}_W$$

\mathbf{Q}_C - točka izražena u k.s. kamere (O, X, Y, Z),

\mathbf{R} - rotacija k.s. kamere oko osi k.s. svijeta,

\mathbf{t} - translacija k.s. svijeta u k.s. kamere,

\mathbf{Q}_W - točka izražena u k.s. svijeta (O_W, L, M, N)

MODEL STVARANJA SLIKE

Vanjski parametri: položaj kamere u k.s. svijeta

(translacija $-\mathbf{R}^T \cdot \mathbf{t}$, rotacija \mathbf{R})

- Parametrizacija rotacijske matrice (nagib, zakret, okret):

$$\mathbf{R} = \mathbf{R}_z(\gamma) \cdot \mathbf{R}_y(\beta) \cdot \mathbf{R}_x(\alpha)$$

$$\mathbf{R} = \begin{bmatrix} \cos(\beta) \cos(\gamma) & \cos(\gamma) \sin(\alpha) \sin(\beta) - \cos(\alpha) \sin(\gamma) & \cos(\alpha) \cos(\gamma) \sin(\beta) + \sin(\alpha) \sin(\gamma) \\ \cos(\beta) \sin(\gamma) & \cos(\alpha) \cos(\gamma) + \sin(\alpha) \sin(\beta) \sin(\gamma) & \cos(\gamma) \sin(\alpha) + \cos(\alpha) \sin(\beta) \sin(\gamma) \\ -\sin(\beta) & \cos(\beta) \sin(\alpha) & \cos(\alpha) \cos(\beta) \end{bmatrix}$$

Parametrizacija nije jedinstvena: zadanu matricu opisuju barem dvije trojke $(\alpha, \beta, \gamma) \in [0, \pi]^3$!

- Inverzni parametri:

$$\mathbf{M}_i = \mathbf{M}^{-1} = \begin{bmatrix} \mathbf{R}_{i3 \times 3} & \mathbf{t}_{i3 \times 1} \\ \mathbf{0}_{1 \times 3} & 1 \end{bmatrix}$$

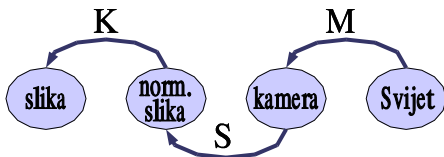
$$\mathbf{R}_i = \mathbf{R}^{-1} = \mathbf{R}^T, \quad \mathbf{t}_i = -\mathbf{R}^{-1} \cdot \mathbf{t}$$

MODEL STVARANJA SLIKE

Perspektivni model, sažetak:

- Pretpostavke: "oštra" slika i idealna ("tanka") leća
- Svakom slikovnom elementu pridružuje se pravac kroz žarište (upotrebom intrinzičnih parametara \mathbf{K})
- Ekstrinzični parametri (\mathbf{R} , \mathbf{t} , 6 DOF) određuju kako te pravce interpretirati u nekom vanjskom k.s.
- Ukupna transformacija:

$$\lambda \mathbf{q} = \mathbf{K} \cdot \mathbf{S} \cdot \mathbf{M} \cdot \mathbf{Q}_W = \mathbf{P}_{3 \times 4} \cdot \mathbf{Q}_W$$



GEOMETRIJA DVAJU POGLEDA

Tri međusobno isprepletena **cilja!**

1. određivanje 3D strukture
2. određivanje pomaka kamera (5DOF)
3. određivanje korespondentnih točaka

Dva **konteksta** koji imaju mnogo toga zajedničkog

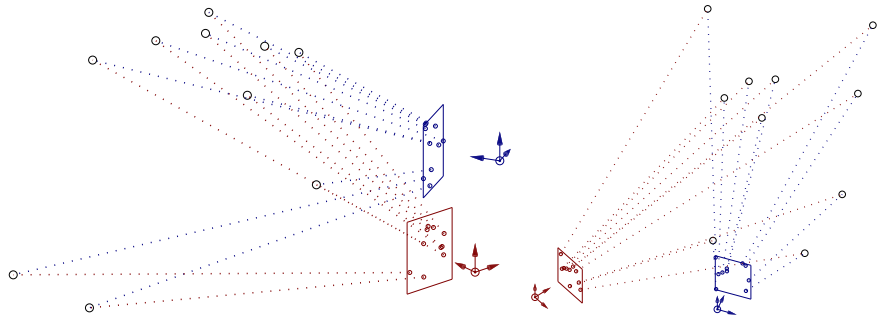
1. **stereo**: slike su pribavljene istovremeno
2. **kretanje**: slike su pribavljene sljedno u vremenu

Dva **slučaja** koji se u mnogome razlikuju

1. **kalibrirani** slučaj: poznate kamere
(metrička rekonstrukcija)
2. **projekcijski** slučaj: nepoznate kamere
(autokalibracija ili projekcijska rekonstrukcija)

GEOMETRIJA DVAJU POGLEDA

Primjeri:



GEOMETRIJA DVAJU POGLEDA

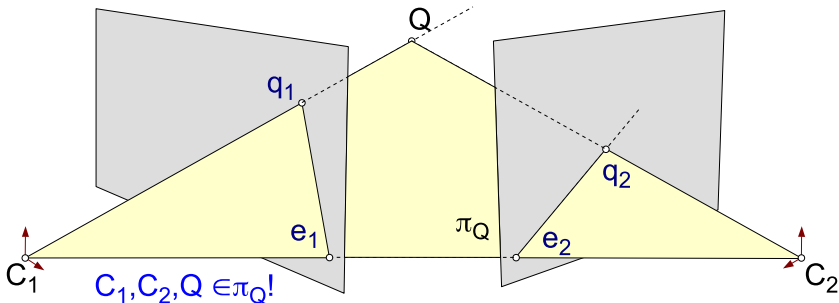
Epipolarna geometrija: odnos između dva pogleda na 3D scenu

Osnovica $p(C_1, C_2)$: povezuje ishodišta dvaju kamera

Epipol e_i : slika ishodišta druge kamere stereo para; $e_i \in p(C_1, C_2)$

Epipolarna ravnina π_Q : def. osnovicom i 3D točkom Q

Epipolarni pravac $p(e_i, q_i)$: presjek epipolarne i slikovne ravnine



GEOMETRIJA DVAJU POGLEDA

Epipolarno ograničenje: geometrijski izvod

Neka je: $\mathbf{P}_1 = \begin{bmatrix} \mathbf{I} & \mathbf{0} \end{bmatrix}$, $\mathbf{P}_2 = \begin{bmatrix} \mathbf{R} & \mathbf{t} \end{bmatrix}$,

Tada u k.s. kamere C_2 vrijedi:

$$\overrightarrow{\mathbf{C}_2 \mathbf{q}_2} = \mathbf{q}_2, \quad \overrightarrow{\mathbf{C}_2 \mathbf{C}_1} = \mathbf{t}, \quad \overrightarrow{\mathbf{C}_1 \mathbf{q}_1} = \mathbf{R} \cdot \mathbf{q}_1$$

Gornja tri vektora su koplanarna \Rightarrow mješoviti produkt iščezava:

$$\mathbf{q}_2^T \cdot (\mathbf{t} \times \mathbf{R} \cdot \mathbf{q}_1) = \mathbf{q}_2^T \cdot [\mathbf{t}]_x \cdot \mathbf{R} \cdot \mathbf{q}_1 = 0$$

Epipolarno ograničenje: $\mathbf{q}_2^T \cdot \mathbf{E} \cdot \mathbf{q}_1 = 0$

Esencijalna matrica (homogena, 3×3 , 5 DOF): $\mathbf{E} = [\mathbf{t}]_x \mathbf{R}$

GEOMETRIJA DVAJU POGLEDA

Epipolarno ograničenje: algebarski izvod

Neka je: $\mathbf{P}_1 = \begin{bmatrix} \mathbf{I} & \mathbf{0} \end{bmatrix}$, $\mathbf{P}_2 = \begin{bmatrix} \mathbf{R} & \mathbf{t} \end{bmatrix}$

Tada vrijedi sljedeće: $\mathbf{Q}_2 = \mathbf{R}\mathbf{Q}_1 + \mathbf{t}$

Rješavamo se zbroja: $[\mathbf{t}]_{\times} \mathbf{Q}_2 = [\mathbf{t}]_{\times} \mathbf{R}\mathbf{Q}_1 + [\mathbf{t}]_{\times} \mathbf{t}$

$$[\mathbf{t}]_{\times} = \begin{bmatrix} 0 & -t_z & t_y \\ t_z & 0 & -t_x \\ -t_y & t_x & 0 \end{bmatrix}, \text{ vrijedi: } [\mathbf{t}]_{\times} \cdot \mathbf{a} = \mathbf{t} \times \mathbf{a}$$

Rješavamo se člana na lijevoj strani: $\mathbf{Q}_2^T [\mathbf{t}]_{\times} \mathbf{Q}_2 = \mathbf{Q}_2^T [\mathbf{t}]_{\times} \mathbf{R}\mathbf{Q}_1$

Konačno dobivamo: $0 = \mathbf{q}_2^T \mathbf{E} \mathbf{q}_1$

GEOMETRIJA DVAJU POGLEDA

Određivanje matrice E: algoritam s osam točaka

Raspisivanjem i reorganiziranjem epipolarnog ograničenja ($0 = \mathbf{q}_{iB}^T \mathbf{E} \mathbf{q}_{iA}$) dobivamo jednadžbu:

$$\begin{bmatrix} x_{iB}x_{iA} & x_{iB}y_{iA} & x_{iB} & y_{iB}x_{iA} & y_{iB}y_{iA} & y_{iB} & x_{iA} & y_{iA} & 1 \end{bmatrix} \cdot \mathbf{e}_{9 \times 1} = 0$$

Za n točaka dobivamo linearni homogeni sustav: $\mathbf{A}_{n \times 9} \cdot \mathbf{e}_{9 \times 1} = \mathbf{0}_{n \times 1}$

Minimalno **osam** točaka za rješenje [longuet-Higgins 1981],
u praksi bismo htjeli imati mnogo više (100)

Linearna metoda postiže jako dobre rezultate (pogotovo nakon normalizacije [hartley04]), ali ima problema s outlierima i ravninama...

GEOMETRIJA DVAJU POGLEDA

Dekompozicija esencijalne matrice

Promotrimo singularnu dekompoziciju matrice: $\mathbf{E} = [\mathbf{t}]_{\times} \mathbf{R}$:

$$\mathbf{E} = \mathbf{U} \cdot \begin{bmatrix} 1 & 0 & 0 \\ 0 & 1 & 0 \\ 0 & 0 & 0 \end{bmatrix} \mathbf{V}^{\top}, \quad \det(\mathbf{U}) = \det(\mathbf{V}) = 1$$

Tada imamo po jedan uvrnuti par za svaki smjer translacije:

□ $\mathbf{t} = \pm \mathbf{U}_{:3}$

□ $\mathbf{R}_a = \mathbf{U} \cdot \begin{bmatrix} 0 & -1 & 0 \\ 1 & 0 & 0 \\ 0 & 0 & 1 \end{bmatrix} \cdot \mathbf{V}^{\top}, \quad \mathbf{R}_b = \mathbf{U} \cdot \begin{bmatrix} 0 & 1 & 0 \\ -1 & 0 & 0 \\ 0 & 0 & 1 \end{bmatrix} \cdot \mathbf{V}^{\top}$

Odabir između $(\mathbf{R}_a, \mathbf{t})$, $(\mathbf{R}_a, -\mathbf{t})$, $(\mathbf{R}_b, \mathbf{t})$, $(\mathbf{R}_b, -\mathbf{t})$ provodimo testiranjem jedne ili više korespondencija.

GEOMETRIJA DVAJU POGLEDA

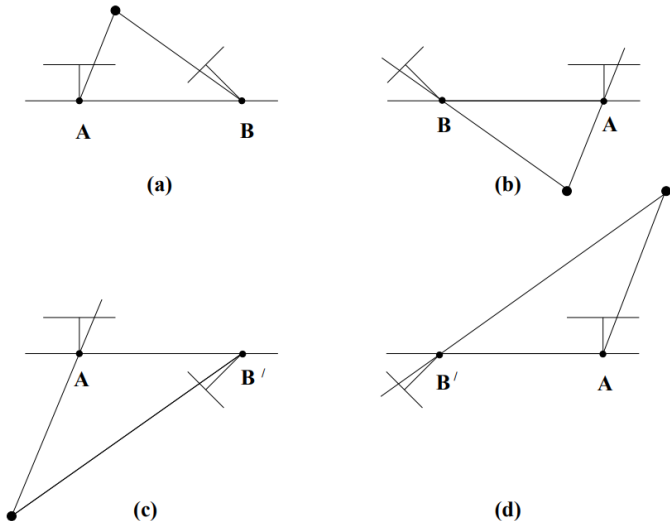


Fig. 9.12. **The four possible solutions for calibrated reconstruction from E.** Between the left and right sides there is a baseline reversal. Between the top and bottom rows camera B rotates 180° about the baseline. Note, only in (a) is the reconstructed point in front of both cameras.

GEOMETRIJA DVAJU POGLEDA

Rekonstrukcija strukture: linearna metoda

Neka je: $\lambda_A \mathbf{q}_A = \mathbf{P}_A \mathbf{Q}$, $\lambda_B \mathbf{q}_B = \mathbf{P}_B \mathbf{Q}$,

Neka su poznate vrijednosti za: \mathbf{q}_A , \mathbf{q}_B , \mathbf{P}_A i \mathbf{P}_B

Kako naći \mathbf{Q} ?

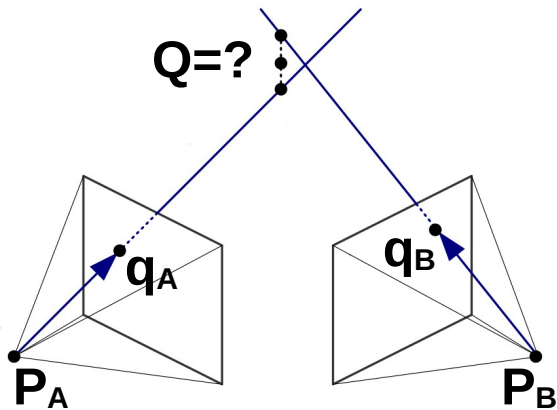
Rješenje (samo dva ograničenja su nezavisna): $[\mathbf{q}_i]_x \mathbf{P}_i \mathbf{Q} = 0$

Kad se to raspiše dobiva se sustav: $\mathbf{A}_{4 \times 4} \mathbf{Q}_{4 \times 1} = 0$

$$\mathbf{A}_{4 \times 4} = \begin{bmatrix} y_A \mathbf{P}_A[3,:] - \mathbf{P}_A[2,:] \\ x_A \mathbf{P}_A[3,:] - \mathbf{P}_A[1,:] \\ y_B \mathbf{P}_B[3,:] - \mathbf{P}_B[2,:] \\ x_B \mathbf{P}_B[3,:] - \mathbf{P}_B[1,:] \end{bmatrix}$$

Efikasnija metoda predložena je u [nister04pami].

GEOMETRIJA DVAJU POGLEDA



[szeliski22book]

GEOMETRIJA DVAJU POGLEDA

Rekonstrukcija strukture: linearna metoda (2)

Kao i obično, linearna metoda nije ML, pa ne postiže optimalne rezultate;

U praksi linearna metoda se koristi za inicijalizaciju, dok se bolji rezultati postižu optimizacijom.

Tipično zajedno optimiramo položaje svih 3D točaka i relativnu orijentaciju kamera (bundle adjustment) [engels06].

GEOMETRIJA DVAJU POGLEDA

Određivanje matrice \mathbf{E} : algoritam s pet točaka

Matrica \mathbf{E} nije "bilo kakva" homogena matrica:

- samo 5 DOF (umjesto 8)
- specifična struktura: $\mathbf{E} = [\mathbf{t}]_{\times} \mathbf{R}$
- skup svih esencijalnih matrica zadan "kubnim" ograničenjem:
$$2 \cdot \mathbf{E} \mathbf{E}^T \mathbf{E} - \text{trace}(\mathbf{E} \mathbf{E}^T) \mathbf{E} = 0$$

Algoritam s pet točaka [Nister 2004] uzima u obzir sva ograničenja (epipolarna i interna)!

Dodatna prednost pred linearnom metodom: radi i za planarne scene!

GEOMETRIJA DVAJU POGLEDA

Određivanje matrice E: algoritam s pet točaka (2)

Prvo se pronadu donja 4 nul-vektora linearnog sustava

$$\mathbf{A}_{5 \times 9} \cdot \mathbf{e}_{9 \times 1} = \mathbf{0}_{5 \times 1}$$

Zatim se njihova linearna kombinacija uvrsti u kubno ograničenje, te se traže koeficijenti za koje je ograničenje zadovoljeno

Ovo rezultira polinomom 11-og stupnja koji ima 1-11 nultočaka (svaka nultočka odgovara zasebnom rješenju)

Na kraju je iz skupa dobivenih hipoteza potrebno naći točnu: to se radi uvrštanjem šeste točke u epipolarno ograničenje.

Algoritam s pet točaka je metoda izbora u minimalnom kontekstu (5+1 točka), dok se za velik broj točaka bolji rezultati postižu kondicioniranim linearnim metodama

GEOMETRIJA DVAJU POGLEDA

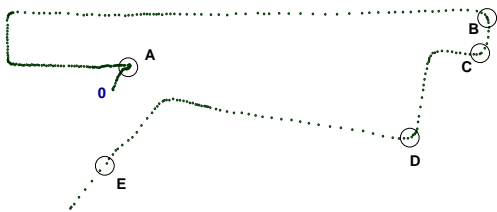
Geometrija više pogleda: proširenje tehnika za dva pogleda

Primjer: monokularna vizualna odometrija [nister04cvpr2]

- ideja: estimirati gibanje kamere konkatentiranjem estimiranih pomaka u kratkim intervalima videa
- položaje kamere moguće je odrediti:
 1. iz esencijalne matrice u odnosu na prvu sliku intervala
 2. iz položaja trijanguliranih 3D točaka (PnP)
- intervali su potrebni zbog rastuće nesigurnosti praćenja
- mjerilo u odnosu na prethodni interval određeno na temelju 3D rekonstrukcije točaka koje su vidljive u oba intervala (glavni nedostatak pristupa!)
- za najbolje rezultate optimirati reprojekcijsku pogrešku u posljednjih n slika [engels06]

GEOMETRIJA DVAJU POGLEDA

Rezultati kartiranja puta od oko 1100 m (sveučilišni kampus):



- **oblik trajektorije** dobro rekonstruiran, znatna odstupanja u **lokalnom mjerilu**
- karta predstavljena grafom gdje su rubne slike čvorovi, a lokalne 3D rekonstrukcije lukovi [segvic09cviu]
- lukovi sadrže pomake kamere, 2D izgleda praćenih značajki te trijagulirane 3D položaje
- vozilo je uspjelo autonomno ponoviti put uz 5 intervencija.

GEOMETRIJA JEDNOG POGLEDA

Geometriju jednog pogleda definira projekcijska matrica $\mathbf{P}_{3 \times 4}$:

$$\lambda \mathbf{q} = \mathbf{K} \cdot \mathbf{S} \cdot \mathbf{M} \cdot \mathbf{Q}_W = \mathbf{K} \cdot \begin{bmatrix} \mathbf{R} & \mathbf{t} \end{bmatrix} \cdot \mathbf{Q}_W = \mathbf{P}_{3 \times 4} \cdot \mathbf{Q}_W,$$

Projekcijska matrica u sebi sadrži i vanjske (\mathbf{R} , \mathbf{t}) i unutrašnje (\mathbf{K}) parametre kamere!

Nulprostor projekcijske matrice je položaj kamere: $\text{Nul}(\mathbf{P}) = (-\mathbf{R}^T \mathbf{t}, 1)$

Ako je kamera umjerena, $\mathbf{P} = \mathbf{S} \cdot \mathbf{M}$

Ako je još i k.s. svijeta poravnat s k.s. kamere: $\mathbf{P} = \mathbf{S} = \begin{bmatrix} \mathbf{I} & \mathbf{0} \end{bmatrix}$

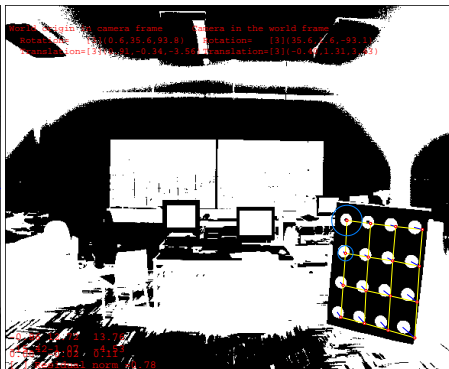
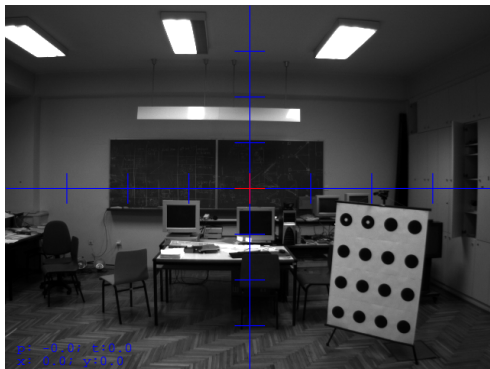
3D iz jednog pogleda samo uz pomoć apriornog znanja

- poznati elementi ravninske scene
- paralelne glavne osi strukture scene

GEOMETRIJA JEDNOG POGLEDA

Homografija: ravninsko projekcijsko preslikavanje

- Koja je veza između ravnine i njezine slike?
- Možemo li iz te veze odrediti položaj kamere (**P**)?



GEOMETRIJA JEDNOG POGLEDA

Homografija: veza između ravnine i njene slike

Neka je k.s. svijeta (O, X, Y, Z) orijentiran tako da je Z okomit na ravninu uzorka (analogija: nogometno igralište iz helikoptera):

$$\lambda \cdot \begin{bmatrix} x_q \\ y_q \\ 1 \end{bmatrix} = \mathbf{K} \begin{bmatrix} \mathbf{R} & \mathbf{t} \end{bmatrix} \begin{bmatrix} X_Q \\ Y_Q \\ 0 \\ 1 \end{bmatrix} = \mathbf{K} \begin{bmatrix} \mathbf{R}_{:,1} & \mathbf{R}_{:,2} & \mathbf{t} \end{bmatrix} \begin{bmatrix} X_Q \\ Y_Q \\ 1 \end{bmatrix}$$

$$\lambda \cdot \mathbf{q} = \mathbf{H} \cdot \mathbf{q}_R,$$

$$\mathbf{q} = \begin{bmatrix} x_q & y_q & 1 \end{bmatrix}^T, \quad \mathbf{q}_R = \begin{bmatrix} X_Q & Y_Q & 1 \end{bmatrix}^T$$

Iz \mathbf{H} možemo dobiti i \mathbf{R} i \mathbf{t} !

GEOMETRIJA JEDNOG POGLEDA

Homografija iz korespondencija između poznatog objekta i slike

- Nepoznati faktor izbacujemo iz igre vektorskim produktom:

$$\mathbf{H} \cdot \mathbf{q}_R = \lambda \cdot \mathbf{q} \iff \mathbf{q} \times (\mathbf{H} \cdot \mathbf{q}_R) = \mathbf{0}$$

$$\begin{aligned} \mathbf{q} \times (\mathbf{H} \cdot \mathbf{q}_R) &= \begin{bmatrix} x_q \\ y_q \\ 1 \end{bmatrix} \times \begin{bmatrix} \mathbf{H}_{1:} \mathbf{q}_R \\ \mathbf{H}_{2:} \mathbf{q}_R \\ \mathbf{H}_{3:} \mathbf{q}_R \end{bmatrix} = \begin{bmatrix} y_q \cdot \mathbf{H}_{3:} \mathbf{q}_R - 1 \cdot \mathbf{H}_{2:} \mathbf{q}_R \\ 1 \cdot \mathbf{H}_{1:} \mathbf{q}_R - x_q \cdot \mathbf{H}_{3:} \mathbf{q}_R \\ x_q \cdot \mathbf{H}_{2:} \mathbf{q}_R - y_q \cdot \mathbf{H}_{1:} \mathbf{q}_R \end{bmatrix} \\ &= \begin{bmatrix} \mathbf{0}_3^T & -\mathbf{q}_R^T & y_q \mathbf{q}_R^T \\ \mathbf{q}_R^T & \mathbf{0}_3^T & -x_q \mathbf{q}_R^T \\ -y_q \mathbf{q}_R^T & x_q \mathbf{q}_R^T & \mathbf{0}_3^T \end{bmatrix} \cdot \begin{bmatrix} \mathbf{H}_{1:}^T \\ \mathbf{H}_{2:}^T \\ \mathbf{H}_{3:}^T \end{bmatrix} = \mathbf{0}_3 \end{aligned}$$

- Imamo dvije nezavisne jednačbe \forall par točaka!
- Za sve parove, dobivamo linearni sustav: $\mathbf{A}_{2n \times 9} \cdot \mathbf{h}_9 = \mathbf{0}_{2n}$

GEOMETRIJA JEDNOG POGLEDA

Homografija: kako riješiti sustav s prethodne stranice?

- **Prijedlog:** minimizirati L2 normu algebarskog reziduala

$$\hat{\mathbf{h}}_{\text{alg}} = \arg \min_{|\mathbf{h}_9|=1} \|\mathbf{A}_{2n \times 9} \cdot \mathbf{h}_9\|$$

- Prednost: može se izračunati eksplicitno (*in closed form*) i brzo SVD dekompozicijom!
- **ali...**
- **Problem 1:** dobiveno rješenje ne maksimira vjerodostojnost!
 - ML rješenje: $\hat{\mathbf{h}}_{\text{geom}} = \arg \min_{\mathbf{h}_9} \sum_i d_{\mathbb{R}^2}(\mathbf{H} \cdot \mathbf{q}_{Ri}, \mathbf{q}_i)^2$
 - nužan iterativan postupak (gradijentna optimizacija)
 - iterativna optimizacija traži dobru **inicijalizaciju...**
- **Problem 2:** postupak je osjetljiv na *outliere*!
 - Outlieri se mogu detektirati Monte Carlo analizom (RANSAC), ili optimizacijom robustne norme

GEOMETRIJA JEDNOG POGLEDA

Homografija: kako riješiti sustav s pret-prethodne stranice?

1. Odbaciti outliere Monte Carlo analizom (RANSAC)
2. Odrediti $\hat{\mathbf{h}}_{\text{alg}}$ kao inicijalno rješenje (SVD)
3. Poboljšati rješenje iterativnom metodom (optimirati ML kriterijsku funkciju)
4. Pokušati proširiti skup korespondencija vođenim uparivanjem, iterirati.

GEOMETRIJA JEDNOG POGLEDA

Nedogled (vanishing point): točka slike u kojoj se sijeku projekcije paralelnih 3D pravaca.

Uz pomoć nedogleda možemo odrediti 3D smjer pravaca u k.s. kamere.

Projekcijsko objašnjenje nedogleda:

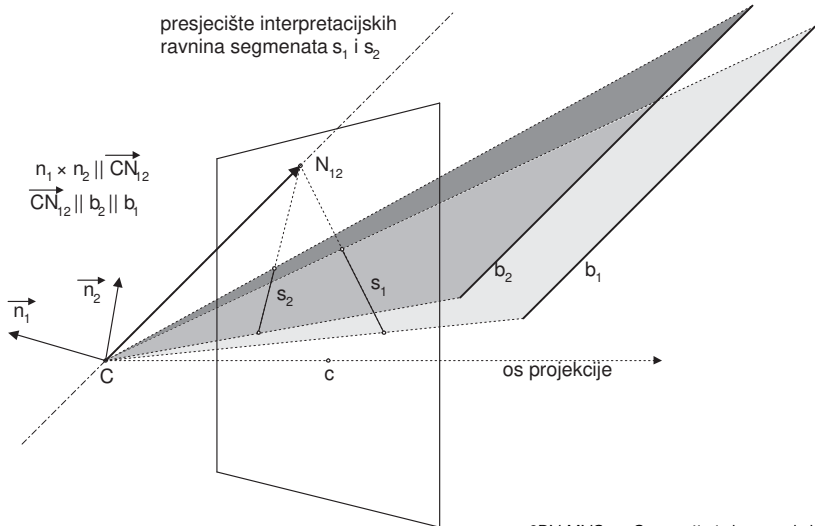
većina točaka u beskonačnosti $Q_n \in \mathbb{P}^3$ se preslikavaju u konačne točke ravnine $q_n \in \mathbb{P}^2$

$$\lambda \begin{bmatrix} x_n \\ y_n \\ 1 \end{bmatrix} = \begin{bmatrix} P'_{3 \times 3} & P''_{3 \times 1} \end{bmatrix} \cdot \begin{bmatrix} k_n \\ l_n \\ m_n \\ 0 \end{bmatrix} = P'_{3 \times 3} \cdot \begin{bmatrix} k_n \\ l_n \\ m_n \end{bmatrix}$$

GEOMETRIJA JEDNOG POGLEDA

Nedogled: Euklidsko objašnjenje

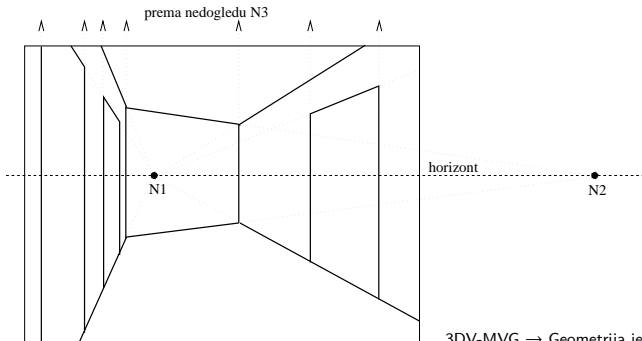
Nedogled kao presjecište interpretacijskih ravnina:



GEOMETRIJA JEDNOG POGLEDA

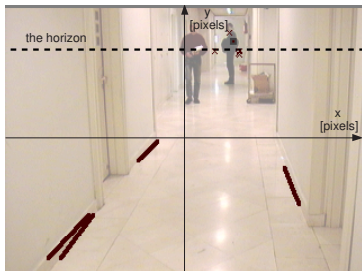
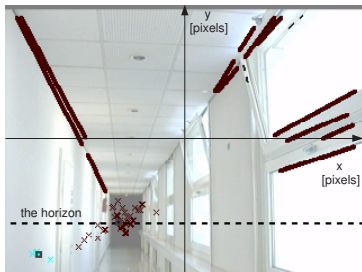
Projekcija preslikava paralelne 3D pravce u 2D pravce koji se sijeku u **nedogledu**

- svakom 3D smjeru odgovara točno jedan nedogled!
- skup konvergentnih 2D pravaca može pokazati glavnu os strukture scene:
 1. pretp: 2D pravci odgovaraju paralelnim bridovima scene
 2. 3D smjer bridova je određen položajem nedogleda



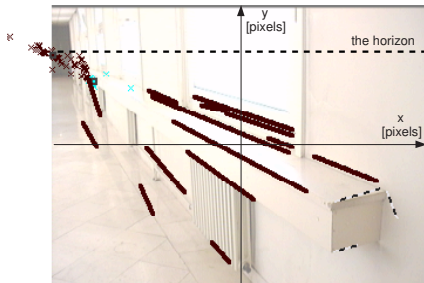
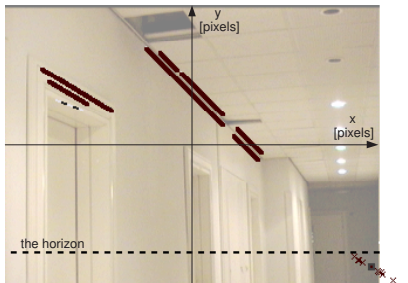
GEOMETRIJA JEDNOG POGLEDA

Nedogled: rezultati detekcije



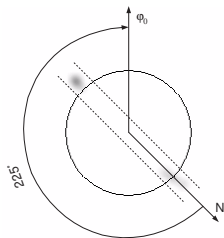
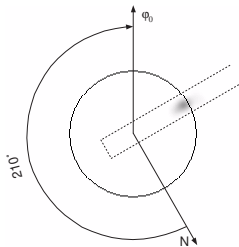
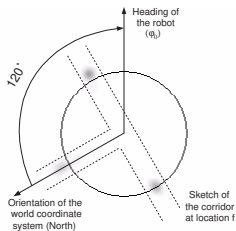
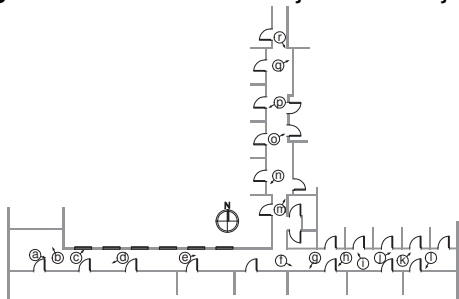
GEOMETRIJA JEDNOG POGLEDA

Nedogled: rezultati detekcije



GEOMETRIJA JEDNOG POGLEDA

Nedogled: rezultati lokalizacije na lokacijama **f**, **l** i **n**



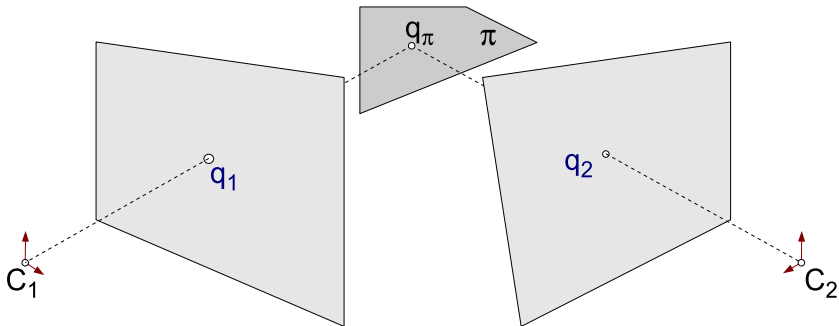
DVA POGLEDA NA RAVNINSKU SCENU

Ravninske scene: homografija homografijine inverzije

$$\mathbf{q}_1 = \mathbf{H}_1 \cdot \mathbf{q}_\pi$$

$$\mathbf{q}_2 = \mathbf{H}_2 \cdot \mathbf{q}_\pi$$

$$\Rightarrow \mathbf{q}_2 = \mathbf{H}_2 \cdot \mathbf{H}_1^{-1} \cdot \mathbf{q}_1 = \mathbf{H}_{21} \cdot \mathbf{q}_1$$



DVA POGLEDA NA RAVNINSKU SCENU

Ravninske scene: geometrijska interpretacija kalibrirane homografije:

$$P_1 = \begin{bmatrix} I & 0 \end{bmatrix}, P_2 = \begin{bmatrix} R & t \end{bmatrix}, \pi \equiv n^T Q_1 = d$$

$$\begin{aligned} \Rightarrow Q_2 &= RQ_1 + t \\ &= RQ_1 + t \cdot \frac{n^T Q_1}{d} \\ &= \left(R + \frac{t \cdot n^T}{d} \right) \cdot Q_1 \end{aligned}$$

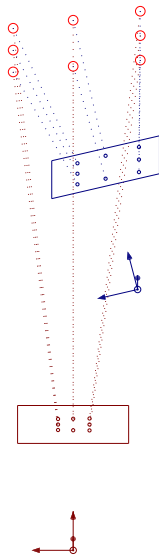
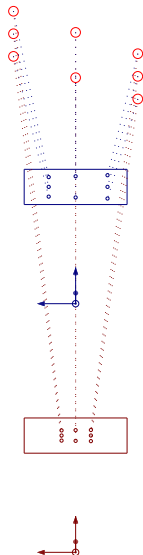
$$\Rightarrow H_{21} = R + \frac{t \cdot n^T}{d}$$

Dekompozicija homografije: ako je zadan H_{21} , odrediti R , $\frac{t}{d}$, n
(obavezna kalibracija, rješenje **nije** uvijek **jednoznačno** [faugeras88ijprai])

DVA POGLEDA NA RAVNINSKU SCENU

Nejednoznačnost dekompozicije homografije

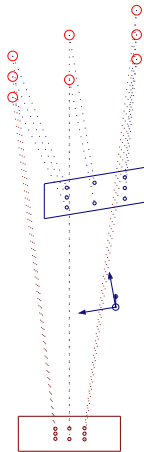
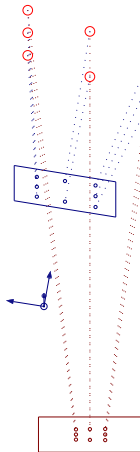
$\theta = 00^\circ$:



DVA POGLEDA NA RAVNINSKU SCENU

Nejednoznačnost dekompozicije homografije

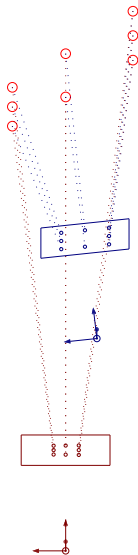
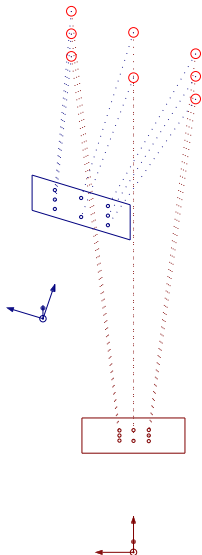
$\theta = 10^\circ$:



DVA POGLEDA NA RAVNINSKU SCENU

Nejednoznačnost dekompozicije homografije

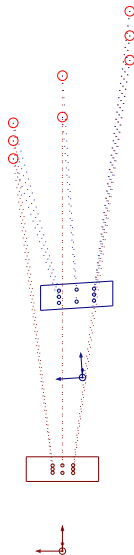
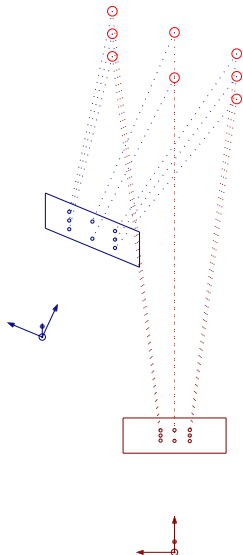
$\theta = 20^\circ$:



DVA POGLEDA NA RAVNINSKU SCENU

Nejednoznačnost dekompozicije homografije

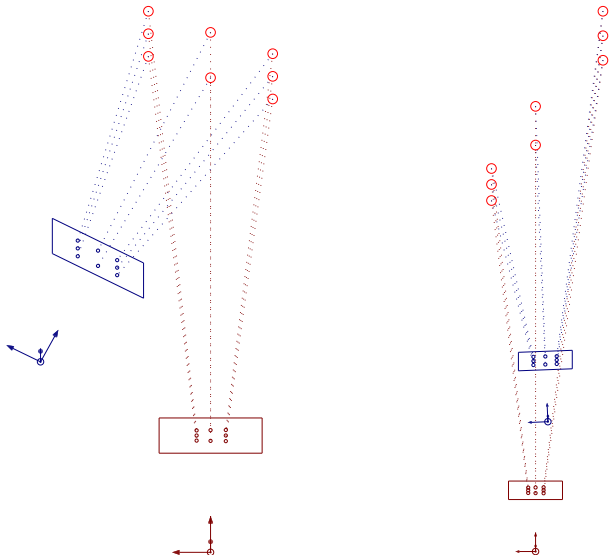
$\theta = 30^\circ$:



DVA POGLEDA NA RAVNINSKU SCENU

Nejednoznačnost dekompozicije homografije

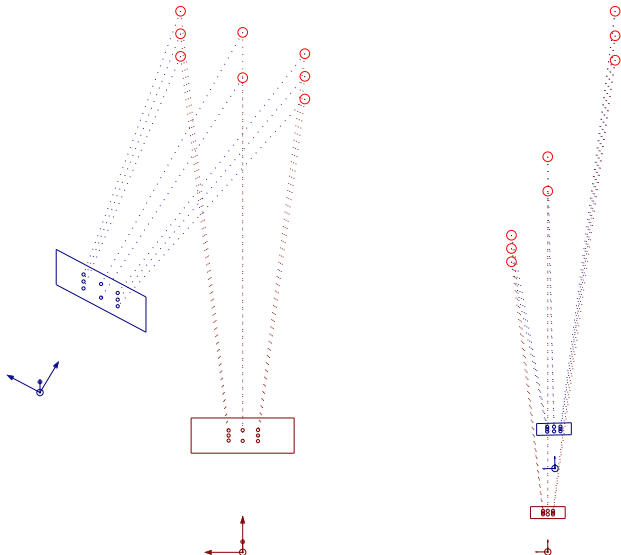
$\theta = 40^\circ$:



DVA POGLEDA NA RAVNINSKU SCENU

Nejednoznačnost dekompozicije homografije

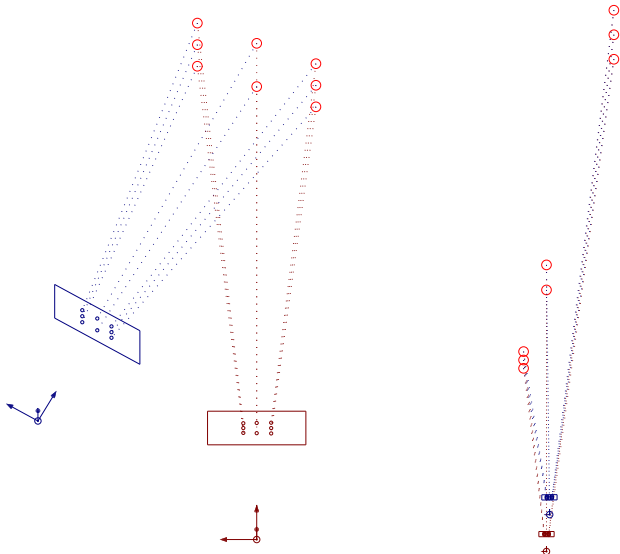
$\theta = 50^\circ$:



DVA POGLEDA NA RAVNINSKU SCENU

Nejednoznačnost dekompozicije homografije

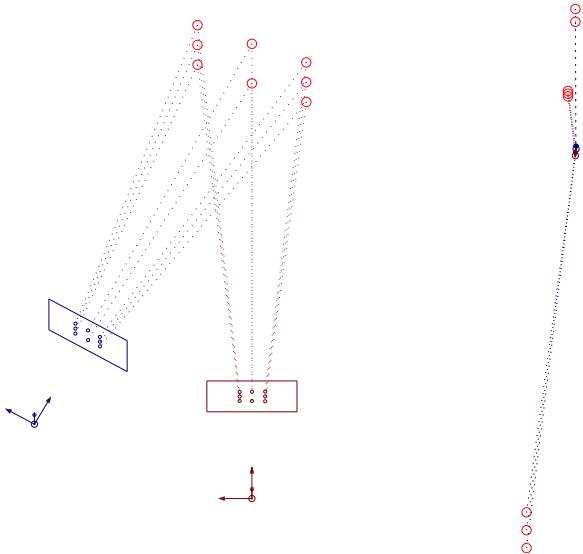
$\theta = 60^\circ$:



DVA POGLEDA NA RAVNINSKU SCENU

Nejednoznačnost dekompozicije homografije

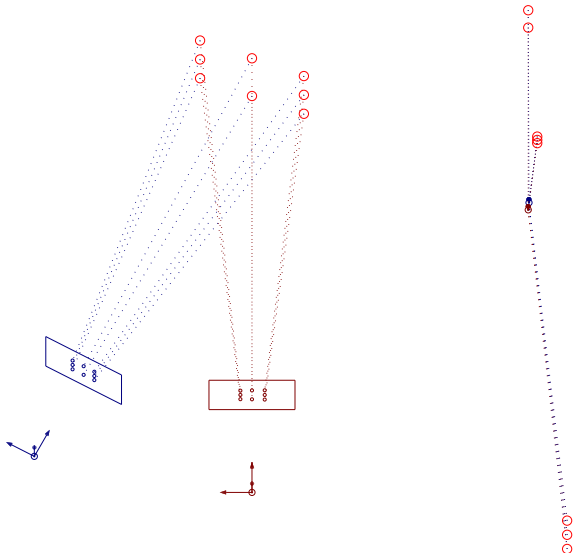
$\theta = 70^\circ$:



DVA POGLEDA NA RAVNINSKU SCENU

Nejednoznačnost dekompozicije homografije

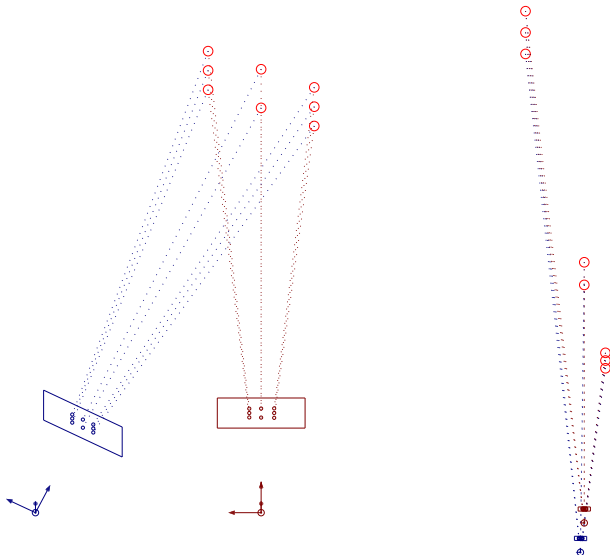
$\theta = 80^\circ$:



DVA POGLEDA NA RAVNINSKU SCENU

Nejednoznačnost dekompozicije homografije

$\theta=90^\circ$:



STVARNE KAMERE

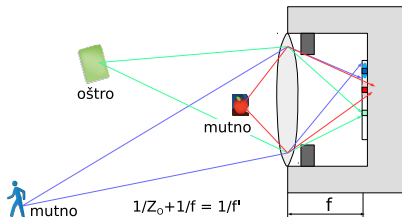
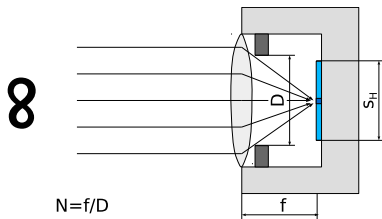
Stvarne kamere:

- svojstva senzora (pretvara fotone u naboj):
 - veličina $s_W \times s_H$ (npr. 2/3" \Rightarrow 8.98 mm \times 6.71 mm)
 - kvantna efikasnost (ICX285: 60% na 550 nm)
 - tehnologija (CMOS, CCD), rezolucija, bit/piksel, boja (siva, Bayer ili 3CCD), preplitanje, ...
- ostala svojstva stvarnih kamera:
 - izvedba zatvarača (rolling, global), ležište leće (C, F, ...), frekvencija (fps), sučelje, mogućnost okidanja, ...
- svojstva leće (prikuplja svjetlo na senzor):
 - udaljenost središta leće od senzora f ($=||Oo||$)
 - format slike (veličina senzora)
 - dijametar otvora (D) odnosno F-broj ($N=f/D$)
 - standard ležišta (C, F, ...)

STVARNE KAMERE

Geometrija stvarne kamere:

- širina vidnog polja ovisi o veličini senzora i udaljenosti leće
- $\phi_{\text{hfov}} = 2 \cdot \arctan\left(\frac{s_w/2}{f}\right)$, $f = \|Oo\|$
- leća prikuplja konus zraka "ispucanih" s objekta
- geometrijski, leća se "trudi" biti što manje vidljiva (izobličenja su neželjena)
- žarišna daljina leće $f' \neq f$ određuje gdje su objekti oštri
- što je D veći, vidno polje je "pliće"



STVARNE KAMERE

Model radijalnog izobličenja:

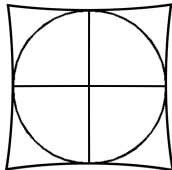
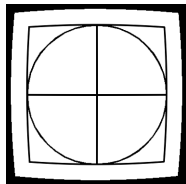
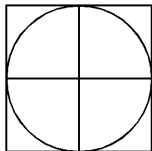
- Stvarne kamere dobro aproksimiraju projekciju, ali izobličenja postoje:
 - neravnomjerni efektivni presjek leće,
 $S_{\text{eff}} = S \cdot \cos(\varphi)$
 - **radijalno** i tangencijalno izobličenje
 - kromatska aberacija
- Model radijalnog izobličenja i korekcije:

$$\hat{x}_d = f_{ud}(\hat{x}_u)$$

$$\hat{x}_u = f_{du}(\hat{x}_d)$$

$$f_{ab}(\hat{x}_a) = \hat{x}_a \cdot (1 + k_1^{ab} \cdot \hat{r}_a^2 + k_2^{ab} \cdot \hat{r}_a^4)$$

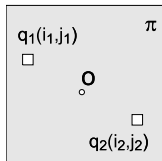
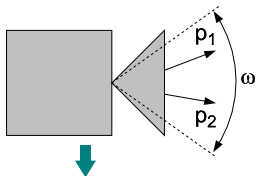
$$\hat{r}_a^2 = \hat{x}_a^2 + \hat{y}_a^2$$



UMJERAVANJE PERSPEKTIVNE KAMERE

Kamera kao crna kutija:

- Stvaranje slike je **preslikavanje** $f: \mathbb{R}^3 \rightarrow \mathbb{R}^2$
 - $\mathcal{D}(f)$ - Euklidski 3D prostor \mathbb{R}^3
 - $\mathcal{K}(f)$ - slikovna ravnina π
- Zbog pravocrtnog širenja svjetlosti:
 - $\forall y \in \pi \exists p \in \mathcal{P} : f(x) = y, \forall x \in p$
 - \mathcal{P} - skup pravaca iz $\mathcal{D}(f)$
 - $p \in \mathcal{P}$ definira zraku koja podražava odgovarajući senzorski element
- Problem umjeravanja (kalibracije):
 - **inverzno** preslikavanje $\kappa: \pi \rightarrow \mathcal{P}$?
 - ocijeniti preciznost postupka



\mathcal{P} ... skup pravaca scene
 $p_1, p_2 \in \mathcal{P}; q_1, q_2 \in \pi$;
kalibracija $\equiv \kappa: \pi \rightarrow \mathcal{P}$
 $\kappa(q_1) = p_1; \kappa(q_2) = p_2$

UMJERAVANJE PERSPEKTIVNE KAMERE

Umjeravanje s ravninskim uzorkom [Zhang00]:

- Koristi se više pogleda na ravninski uzorak (pravokutna mreža prepoznatljivih značajki)
- Dosjetljivom linearnom metodom određuju se:
 - linearni intrinzični parametri kamere (\mathbf{K})
 - vanjski parametri za svaki pogled (\mathbf{R}, \mathbf{t})
- Parametri radijalnog izobličenja određuju se optimizacijom
 - kriterij optimiranja je ukupna **projekcijska pogreška!**
 - dimenzionalnost funkcije cilja: $n_{\text{pogleda}} \cdot n_{\text{znacajki}} \cdot 2 \cdot 2$
 - optimiraju se **svi** intrinzični parametri i parametri pomaka kamere za svaki pogled: $9 + n_{\text{pogleda}} \cdot 6$
(dotjeruju se rezultati linearne analize)
 - postupak poznat pod imenom *bundle adjustment*

UMJERAVANJE PERSPEKTIVNE KAMERE

Još o nelinearnoj optimizaciji:

- U postupak ulaze:
 - liste uparenih točaka $\{\mathbf{Q}_{Rij}\}, \{\mathbf{q}_{ij}\}, i = 1..n_p, j = 1..n_{zi}$
 - inicijalne procjene parametara pomaka:
 $\{\mathbf{R}_i\}, \{\mathbf{t}_i\}, i = 1..n_p$
 - inicijalna procjena intrinzičnih parametara:
 $\mathbf{K}, (\mathbf{k}_1^{ud}, \mathbf{k}_2^{ud}), (\mathbf{k}_1^{du}, \mathbf{k}_2^{du}),$
- Minimizira se norma funkcije $\text{fcn} : \mathbb{R}^{9+6n_p} \rightarrow \mathbb{R}^{4n_p \bar{n}_{zi}}$

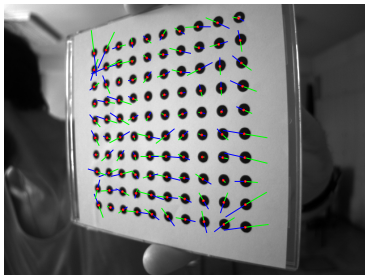
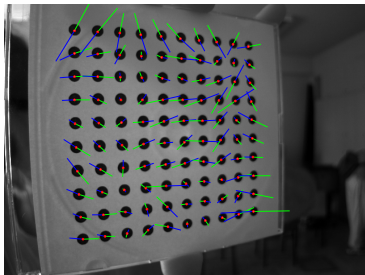
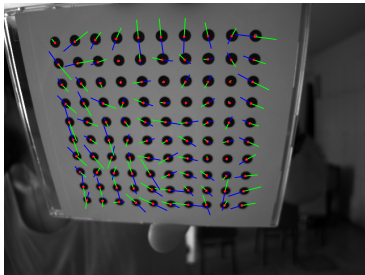
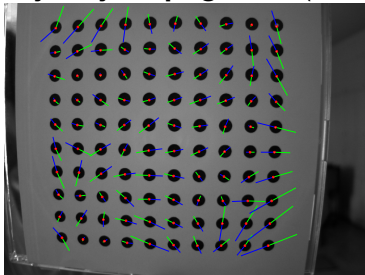
$$\text{fcn}(\{\mathbf{R}_i\}, \{\mathbf{t}_i\}, \mathbf{K}, \{\mathbf{k}_j^k\}) = \{\delta_{ij}^d, \delta_{ij}^u\}, i = 1..n_p, j = 1..n_{zi}$$

$$\delta_{ij}^d = d_{\mathbb{R}^2}(\mathbf{K} \mathbf{f}_{ud}(\mathbf{S} \mathbf{M}_i \mathbf{Q}_{Rij}), \mathbf{q}_{ij})^2$$

$$\delta_{ij}^u = d_{\mathbb{R}^2}(\mathbf{K} \mathbf{S} \mathbf{M}_i \mathbf{Q}_{Rij}, \mathbf{K} \mathbf{f}_{du}(\mathbf{K}^{-1} \mathbf{q}_{ij}))^2$$

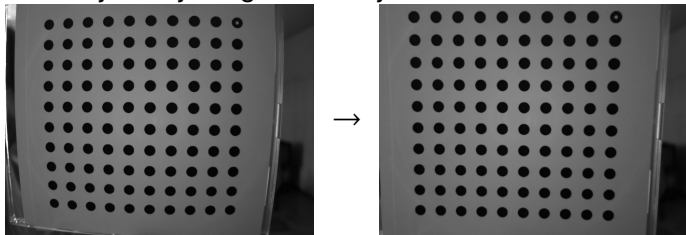
UMJERAVANJE PERSPEKTIVNE KAMERE

Projekcijska pogreška ($\times 100$)



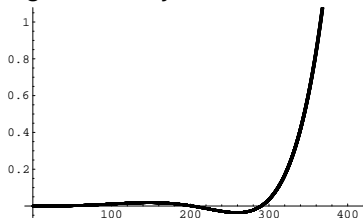
UMJERAVANJE PERSPEKTIVNE KAMERE

- Korekcija radijalnog izobličenja:



- Preciznost parametara radijalnog izobličenja

$$f_{\varepsilon} = r - f_{du}(f_{ud}(r))$$



UMJERAVANJE PERSPEKTIVNE KAMERE

Zaključak:

- Optimizacijski postupak pronalazi optimalne vrijednosti unutrašnjih i vanjskih (za svaki pogled) parametara kamere: \mathbf{K} , $\{\mathbf{k}_j^k\}$, $\{\mathbf{R}_i\}$, $\{\mathbf{t}_i\}$
- ukupna projekcijska pogreška modela $\|f_{cn}()\|_2$ obuhvaća:
 - pogrešku δ_S^d u izobličenoj slici (kalibriramo \mathbf{f}_{ud})
 - pogrešku δ_S^u u idealnoj slici (kalibriramo \mathbf{f}_{du})
- Rješenje **ocjenjujemo** parametrima projekcijske pogreške u slikovnoj ravnini δ_S^d :
 - standardna devijacija pojedinačnih odstupanja
 - najveća pojedinačna projekcijska pogreška

UMJERAVANJE PERSPEKTIVNE KAMERE

Primjene 3D vida: 3D modeliranje, proširena stvarnost, autonomna navigacija, detekcija objekata,

Velika kočnica: procesna moć današnjih računala.